

# 第二章：系统数学模型

章宗长

2022年9月16日

---

基本要求:

- **掌握**控制系统的模型建立、线性近似和等效化简方法
  - **掌握**线性常微分方程的求解方法
-

# 内容安排

**2.1** 物理系统的微分方程模型

**2.2** 非线性系统数学模型的线性化

**2.3** 线性常微分方程的求解

**2.4** 传递函数模型

**2.5** 框图模型

**2.6** 信号流图模型

**2.7** 系统数学模型的MATLAB实现

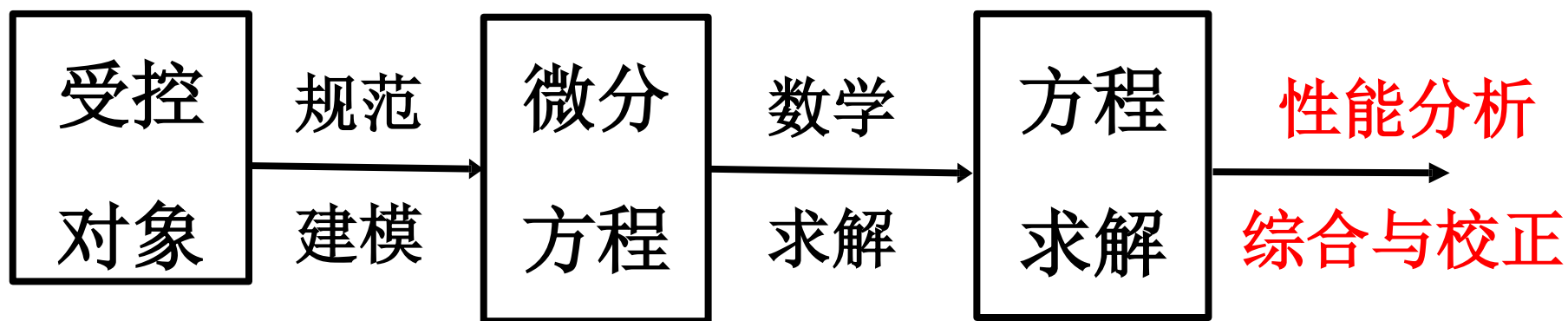


图2.1 第二章涉及的工作流程模块

受控对象通常非常复杂，建模的原则是抓住**主要矛盾**，**合理简化**复杂问题

## □ 控制理论研究两类问题：

### 1) 控制系统性能分析问题：

控制系统的元部件（结构）及参数已给定，需要分析它能达到什么指标，能否满足所要求的各项性能指标

### 2) 控制系统的综合与校正问题：

若系统不能全面地满足所要求的性能指标，则需对原已选定的系统增加必要的元件或环节，使系统能够全面地满足所要求的性能指标

这两类问题都离不开对控制系统**动态特性**的研究！

## □ 控制理论的基础

### ——描述控制系统动态特性的数学模型

建立控制系统的数学模型，并在此基础上对控制系统进行分析、综合，是自动控制的基本方法

- 经典控制理论采用的数学模型以**传递函数**为基础
- 现代控制理论采用的数学模型以**状态空间方程**为基础
- **微分方程**是列写传递函数和状态空间方程的基础

## □ 系统的数学模型

**数学模型：**描述系统输入、输出量以及内部各变量之间关系的数学表达式，揭示了系统结构及其参数与其性能之间的内在关系

## □ 数学模型的形式

- 时间域：微分（差分）方程、状态方程
- 复数域：传递函数（基于微分方程）、  
结构图（框图、信号流图）
- 频率域：频率特性函数（基于传递函数）

如何描述物体的运动？

$$x(t), \quad \dot{x}(t) = \frac{dx(t)}{dt}, \quad \ddot{x}(t) = \frac{d^2x(t)}{dt^2}, \quad \dots$$

位置

速度

加速度

通常采用微分方程描述受控对象的动态行为



## 例2.1：电阻—电感—电容电路(RLC电路)

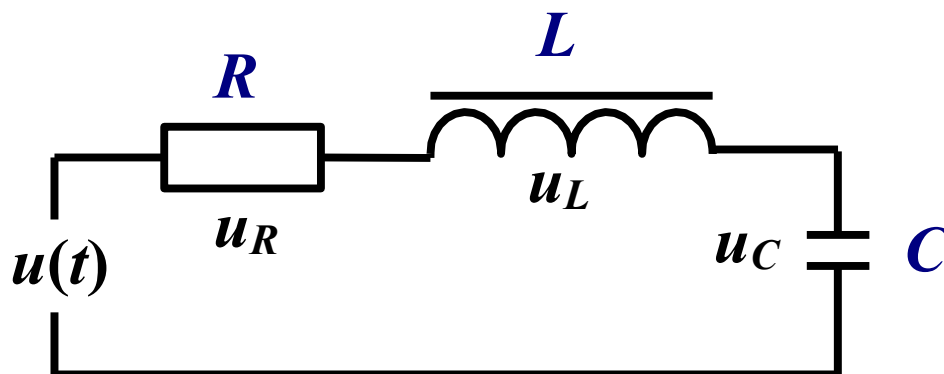


图2.2 RLC电路

假设：1、电感 $L$ ，电容 $C$ ，电阻 $R$ 均为理想器件

2、导线电阻忽略不计

研究：

在外加电压 $u(t)$ 作用下，电容上电压 $u_c(t)$ 的变化

## 分析：电阻、电感、电容的特性

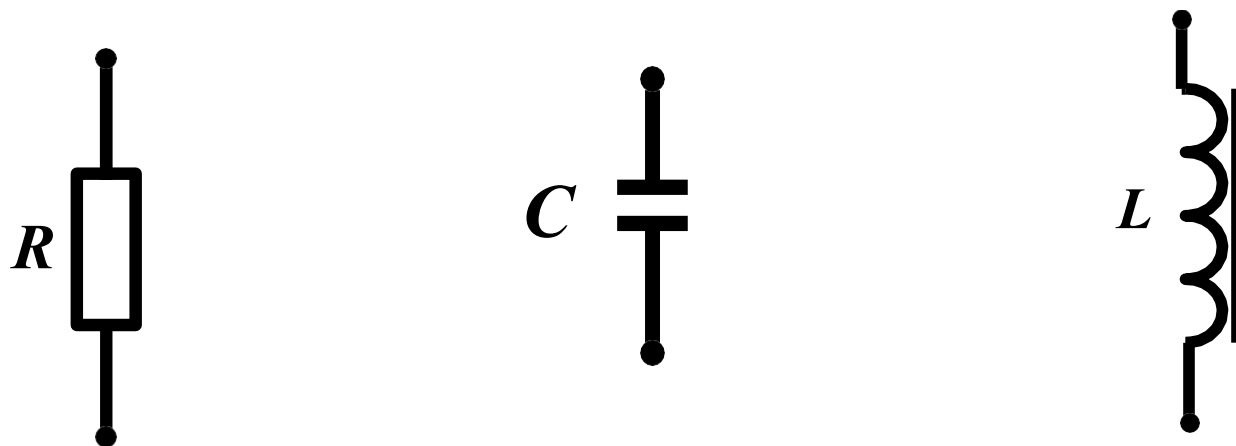


图2.3 电子器件的动态特性

$$u_R = Ri_R$$

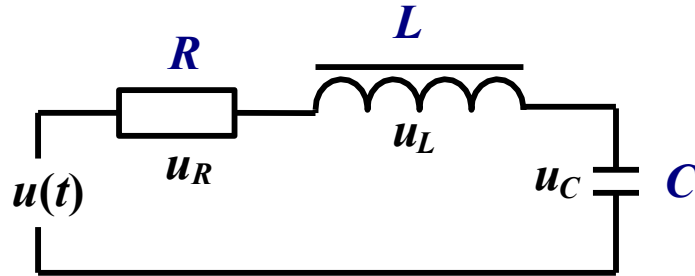
$$i_C = C \frac{du_C}{dt}$$

$$u_C = \frac{1}{C} \int i_C dt$$

$$u_L = L \frac{di_L}{dt}$$

## 一、确定输入、输出量

输入 $u(t)$ ，输出 $u_c(t)$

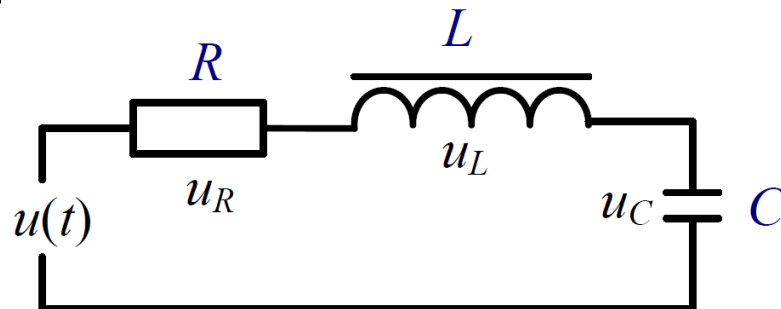


## 二、元件遵循的定律：基尔霍夫定律

$$u(t) = u_R(t) + u_L(t) + u_C(t)$$

$$u(t) = Ri(t) + L \frac{di(t)}{dt} + \frac{1}{C} \int i(t) dt$$

$$u(t) = Ri(t) + L \frac{di(t)}{dt} + \frac{1}{C} \int i(t) dt$$



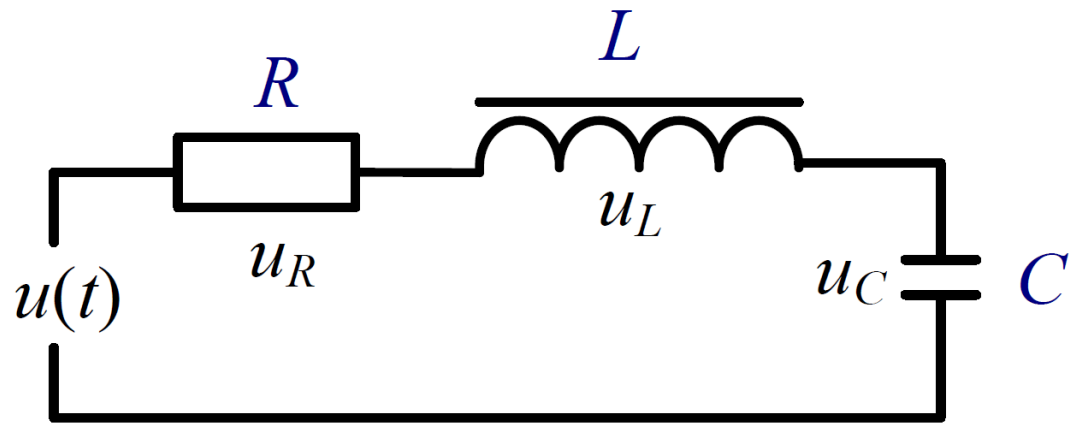
### 三、消除中间变量

$$i(t) = C \frac{du_c(t)}{dt}$$

$$u(t) = LC \frac{d^2 u_c(t)}{dt^2} + RC \frac{du_c(t)}{dt} + u_c(t)$$

### 四、整理成标准化的形式

$$LC \frac{d^2 u_c(t)}{dt^2} + RC \frac{du_c(t)}{dt} + u_c(t) = u(t)$$



$$LC \frac{d^2 u_C(t)}{dt^2} + RC \frac{du_C(t)}{dt} + u_C(t) = u(t)$$

**RLC电路的微分方程模型**

# 微分方程模型的建立步骤

- 1.分析元件和系统的工作原理，确定系统**输入量、输出量**
- 2.根据元件**遵循的定律**列写动态方程式（忽略次要因素）
- 3.消除中间变量，只保留**输入-输出**的数学关系式
- 4.动态方程**标准化**：等式右边与输入变量有关，等式左边与输出变量有关

## 例2.2：质量块-弹簧-阻尼器系统

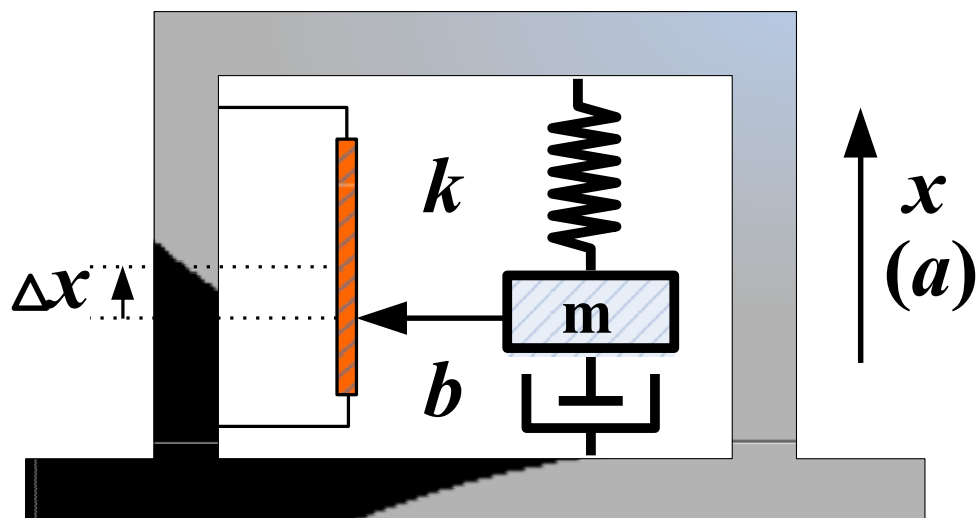


图2.4 质量块-弹簧-阻尼器系统

假设：

- 1、不考虑摩擦；
- 2、弹簧的伸长在弹性限度内；
- 3、不考虑弹簧和阻尼器质量；

参 数

质量块质量

$m$

阻尼系数

$b$

弹性系数

$k$

## 一、确定输入、输出量

系统输入：外力（加速度 $a$ ）

系统输出：系统相对质量块 $m$ 的位移 $\Delta x(t)$

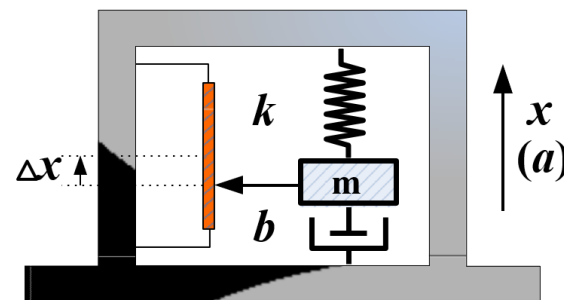
## 二、运动遵循的物理规律

1) 令 $x(t)$ 表示质量块 $m$ 的位移

系统的位移 $x(t) + \Delta x(t)$ 满足 
$$\frac{d^2(x(t) + \Delta x(t))}{dt^2} = a$$

由牛顿定律，质量块 $m$ 所受合力：

$$F_{\Sigma} = m \frac{d^2 x(t)}{dt^2} = ma - m \frac{d^2 \Delta x(t)}{dt^2}$$





2)  $k$ 为弹簧弹性系数，由虎克定律有，弹簧拉力为

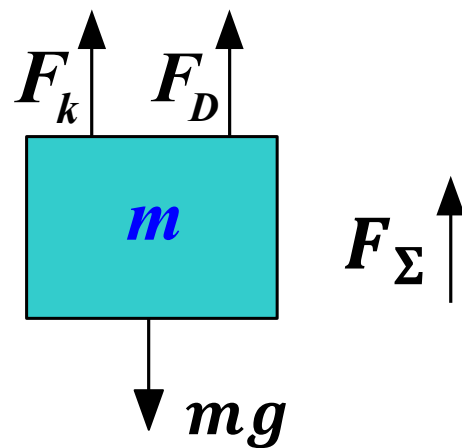
$$F_k = k \Delta x(t)$$

3) 粘性阻尼的阻尼力与质量块速度成正比，方向相反

$$F_b = b \frac{d \Delta x(t)}{dt}$$

4) 质量块 $m$ 所受合力：重力、弹簧拉力和阻尼力的叠加

$$F_{\Sigma} = F_k + F_b - mg$$



三、质量块m的运动方程为：

$$ma - m \frac{d^2 \Delta x(t)}{dt^2} = k \Delta x(t) + b \frac{d \Delta x(t)}{dt} - mg$$

整理后，有

$$m \frac{d^2 \Delta x(t)}{dt^2} + k \Delta x(t) + b \frac{d \Delta x(t)}{dt} = m(\underline{a + g})$$

视加速度

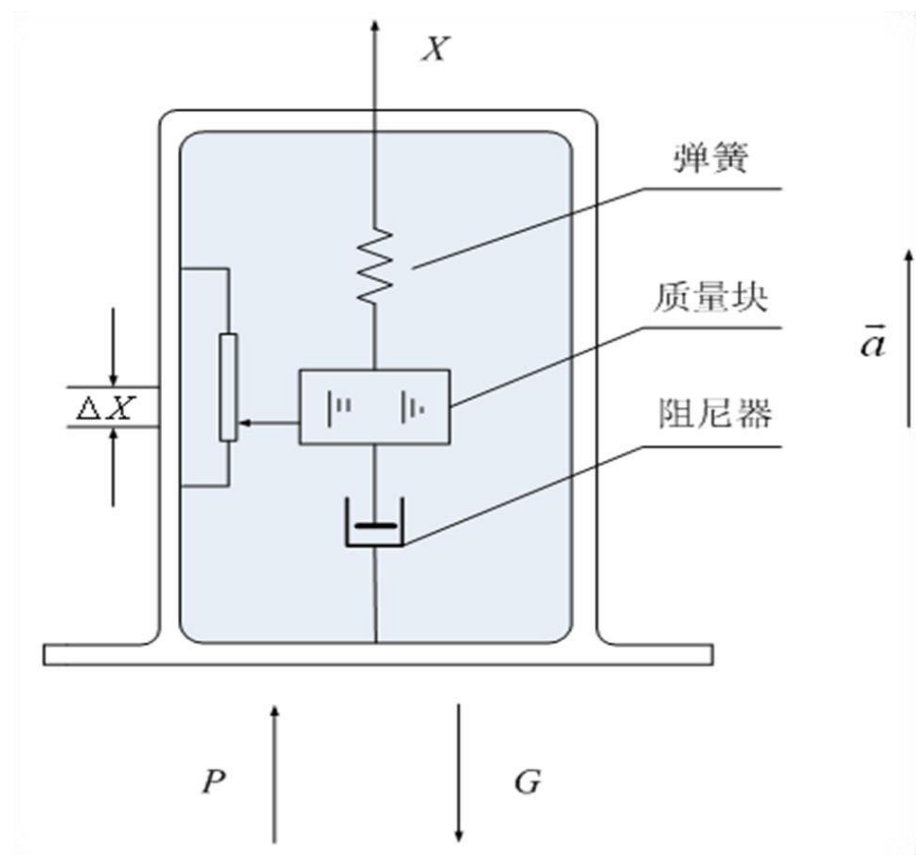


取  $u = m(a + g)$ ，则上式整理为

$$m \frac{d^2 \Delta x(t)}{dt^2} + k \Delta x(t) + b \frac{d \Delta x(t)}{dt} = u(t)$$

# 质量块-弹簧-阻尼器系统描述了加速度计原理

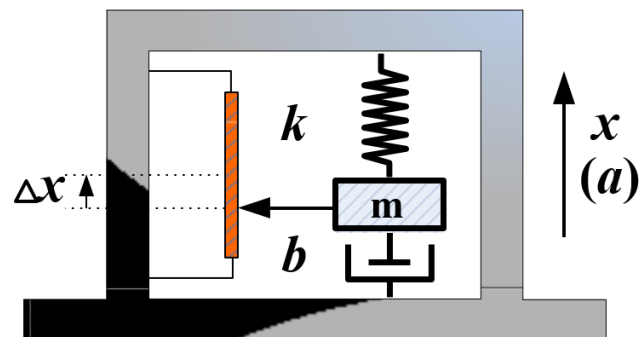
加速度计是测量运载体加速度的仪表



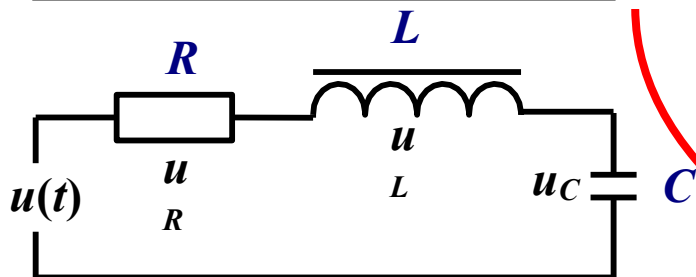
# 常见的加速度计



# 物理系统的相似性



$$m \frac{d^2 \Delta x(t)}{dt^2} + k \Delta x(t) + b \frac{d \Delta x(t)}{dt} = u(t)$$



$$LC \frac{d^2 u_C(t)}{dt^2} + RC \frac{du_C(t)}{dt} + u_C(t) = u(t)$$

不同物理元件组成的系统，可以有**相同**的**数学模型**

$$a_0 \frac{d^2 y(t)}{dt^2} + a_1 \frac{dy(t)}{dt} + a_2 y(t) = r(t)$$

## 例2.3：单摆系统（简单非线性）

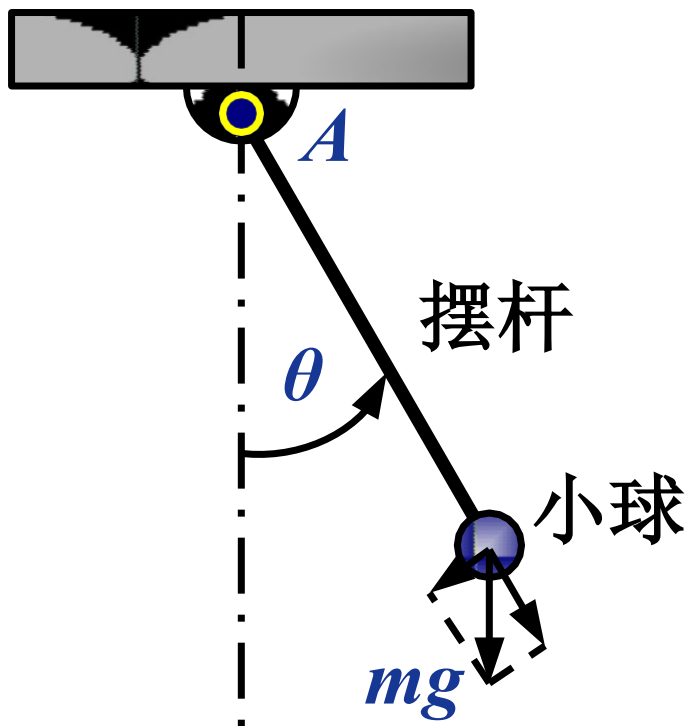


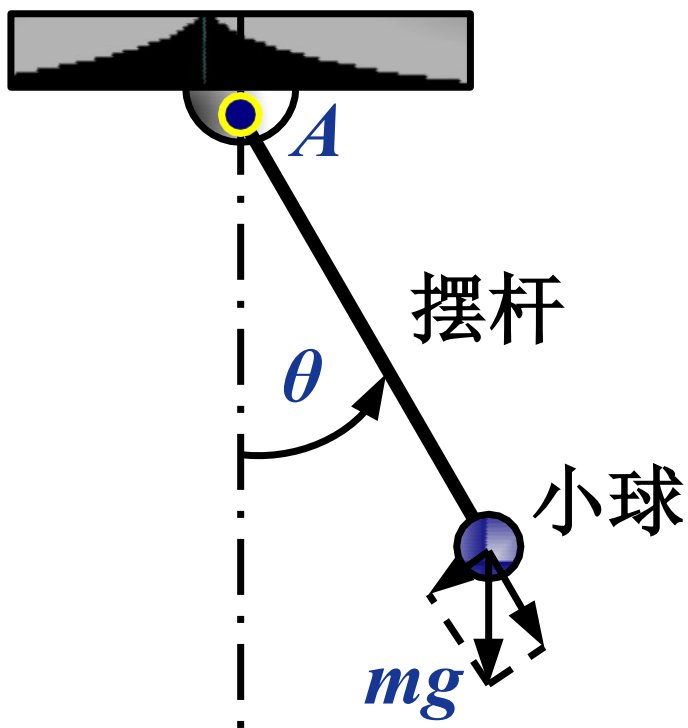
图2.5 单摆系统

### 参数与变量

摆杆长度	$L$
小球质量	$m$
摆角	$\theta$

假设：

- 1、不考虑空气阻力
- 2、不考虑摆杆在 $A$ 点的摩擦
- 3、单摆系统进行小角度摆动



摆杆角度变化的方程：

$$\ddot{\theta} + \frac{g}{L} \sin \theta = 0$$

方程求解比较困难。非线性！

---

实际物理系统都存在**非线性**，准确的模型应该是非线性方程。这会增加模型的复杂性，因此，**线性化近似**是建模的一个重要问题。

但也有无法**线性化近似**的场合。

---



## 例2.4：混沌系统：Lorenz 方程（复杂非线性）

$$\frac{dx}{dt} = a(y - x)$$

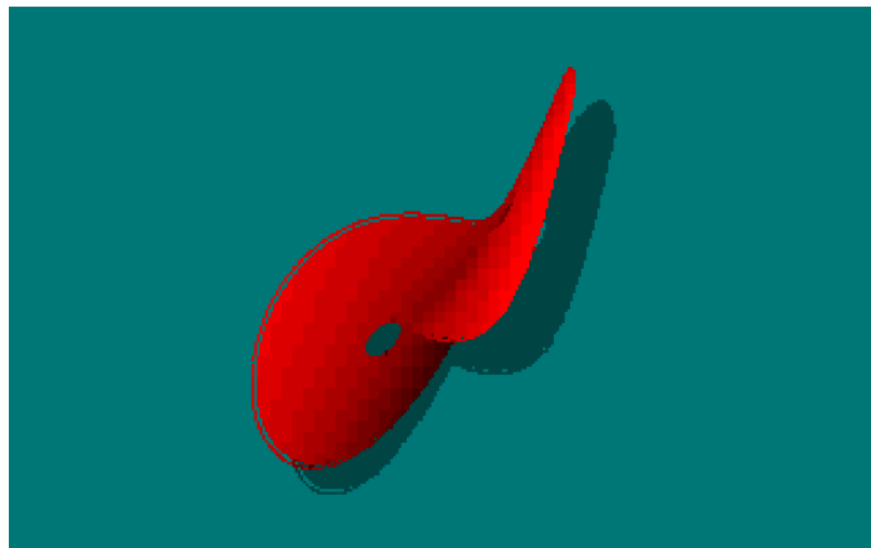
$$\frac{dy}{dt} = bx - y - xz$$

$$\frac{dz}{dt} = xy - cz$$

$$a = 10$$

$$b = 28$$

$$c = 8/3$$



红色曲线初值:  $(x, y, z) = (0.0, 20.01, 25.0)$

蓝色曲线初值:  $(x, y, z) = (0.0, 20.00, 25.0)$

# 内容安排

2.1

物理系统的微分方程模型

2.2

非线性系统数学模型的线性化

2.3

线性常微分方程的求解

2.4

传递函数模型

2.5

框图模型

2.6

信号流图模型

2.7

系统数学模型的MATLAB实现



许多情况下，**线性微分方程**足以近似描述现实世界的变化。

线性微分方程具有非常成熟的理论，因此成为控制理论的重要基础。

本门课只讨论**线性定常（时不变）**模型。

线性系统：同时满足叠加性和齐次性的系统



叠加性:



对任意输入，如果当

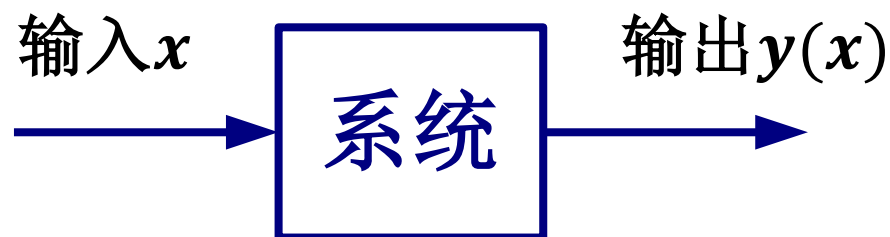
(1) 输入为 $x_1$ 时，系统输出为 $y(x_1)$ ;

(2) 输入为 $x_2$ 时，系统输出为 $y(x_2)$ ;

则输入为 $x_1 + x_2$ 时，系统输出满足:

$$y(x_1 + x_2) = y(x_1) + y(x_2)$$

齐次性:

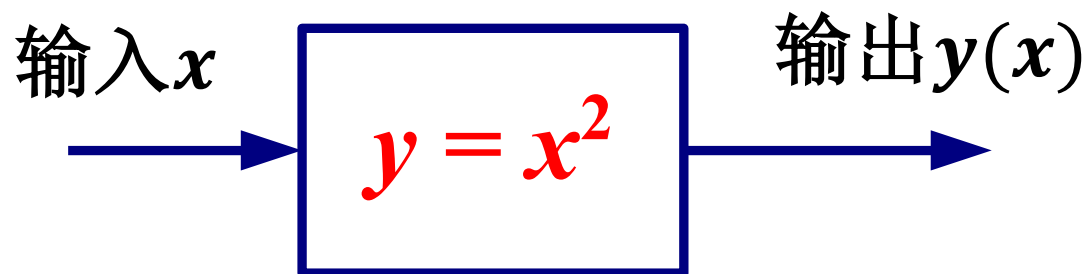


对于任意的输入 $x$ 和任意的常数 $\beta$ , 如果输入为 $x$ 时, 系统输出为 $y(x)$ ;

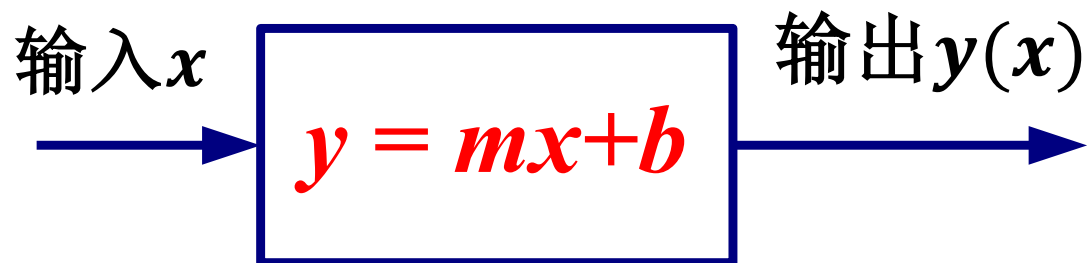
则输入为 $\beta x$ 时, 系统输出满足:

$$y(\beta x) = \beta y(x)$$

## 例2.5：线性系统判别

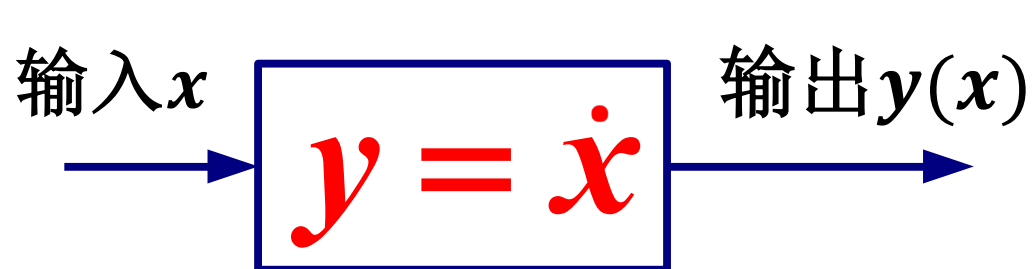


**X**



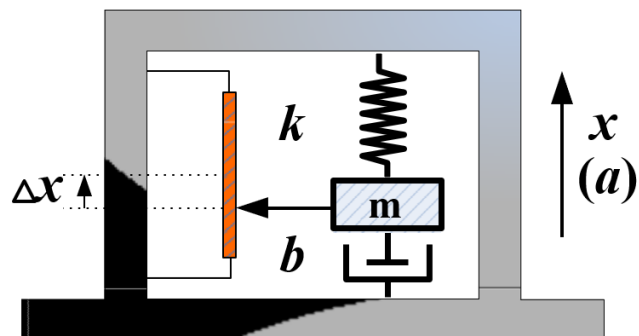
**X**

$b=0$  ?



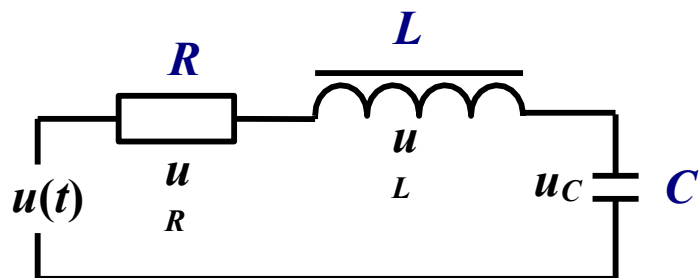
**√**

问题：下面两个系统是否线性系统？



$$m \frac{d^2 \Delta x(t)}{dt^2} + k \Delta x(t) + b \frac{d \Delta x(t)}{dt} = u(t)$$

✓



$$LC \frac{d^2 u_C(t)}{dt^2} + RC \frac{du_C(t)}{dt} + u_C(t) = u(t)$$

✓



一般 $n$ 阶线性定常（时不变）微分方程模型的通式为：

$$\begin{aligned} & a_0 \frac{d^n}{dt^n} y(t) + a_1 \frac{d^{n-1}}{dt^{n-1}} y(t) + \cdots + a_{n-1} \frac{d}{dt} y(t) + a_n y(t) \\ & = b_0 \frac{d^m}{dt^m} r(t) + b_1 \frac{d^{m-1}}{dt^{m-1}} r(t) + \cdots + b_{m-1} \frac{d}{dt} r(t) + b_m r(t) \end{aligned}$$

其中， $y(t)$ 为系统的输出， $r(t)$ 为系统输入， $m < n$ 。 $a_i$ ， $b_j (i = 0, 1, \dots, n; j = 0, 1, \dots, m)$ 均为实数，由系统本身的结构参数所决定。

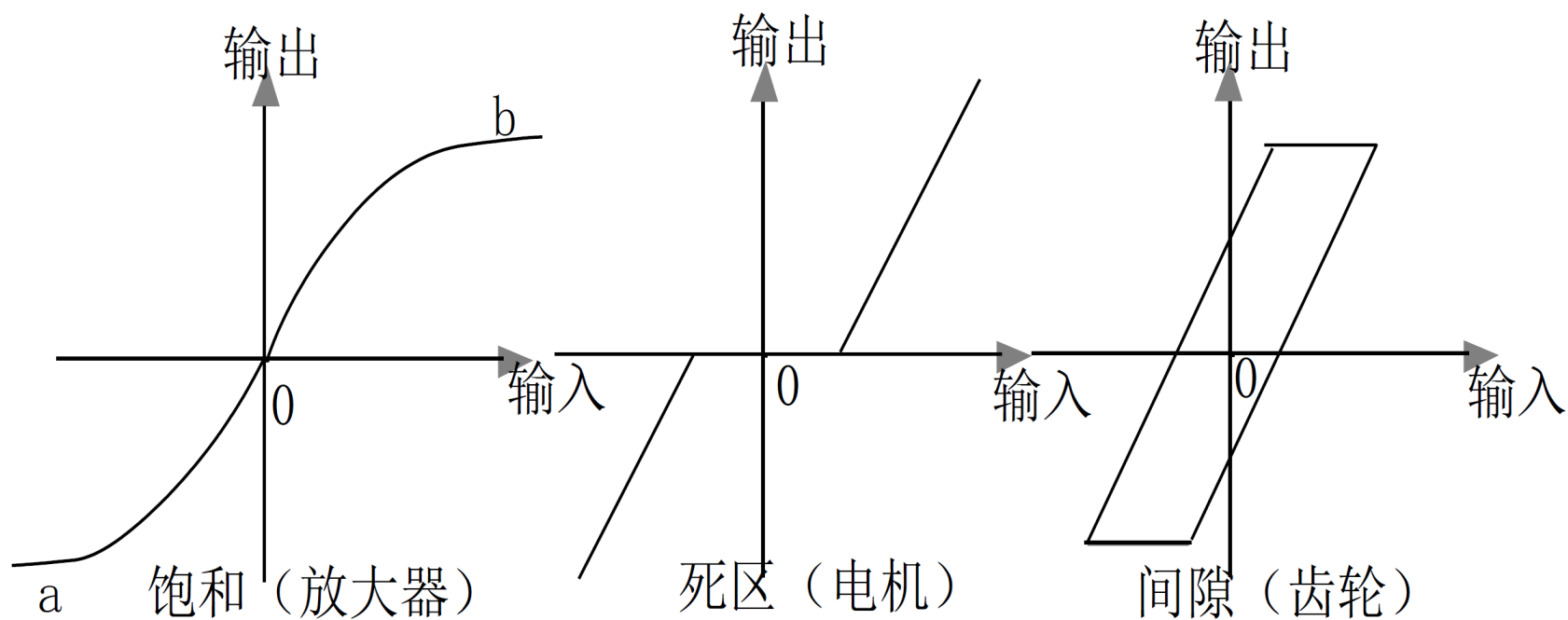
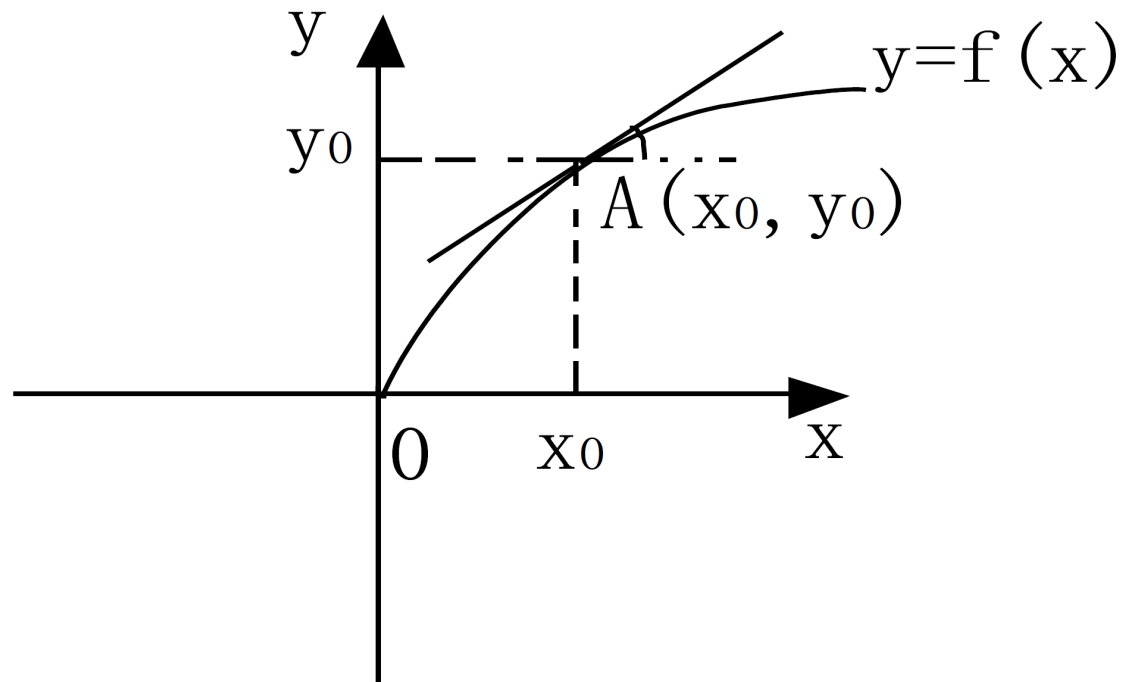


图2.7 机电系统的典型非线性系统响应

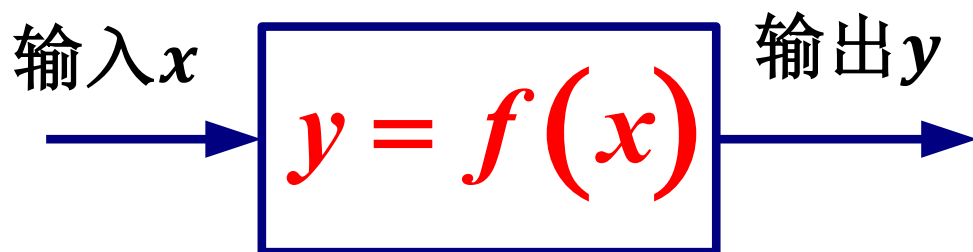


饱和（放大器）

图2.8 放大器电路在工作点A的线性化过程

建立线性化近似模型的常用策略：

- 1、限制范围，使系统工作在线性区，忽略非线性
- 2、换一个角度考察所谓的小信号。可以用线性模型来代替非线性模型



1、限制输入电流在线性工作区（足够小），则输入输出关系可以用线性模型近似

$$y = kX$$

$$k = \left. \frac{dy}{dx} \right|_{x_0}$$

2、若工作点A( $x_0, y_0$ )（工作点）出了线性区，换个角度考察输出量的变化量（小信号），同样可以把输出随时间的变化。假设  $y = f(x)$  在工作点处的导数为A，由泰勒级数展开式，有：

$$y = f(x) = y_0 + \left. \frac{dy}{dx} \right|_{x_0} (x - x_0) + \frac{1}{2!} \left. \frac{d^2 y}{dx^2} \right|_{x_0} (x - x_0)^2 + \dots$$

忽略高阶无穷小，则有：

$$\Delta y = k \Delta x$$

$$\Delta y = y - y_0 \quad \Delta x = x - x_0 \quad k = \left. \frac{dy}{dx} \right|_{x_0}$$

## 例2.6：单摆系统的线性化

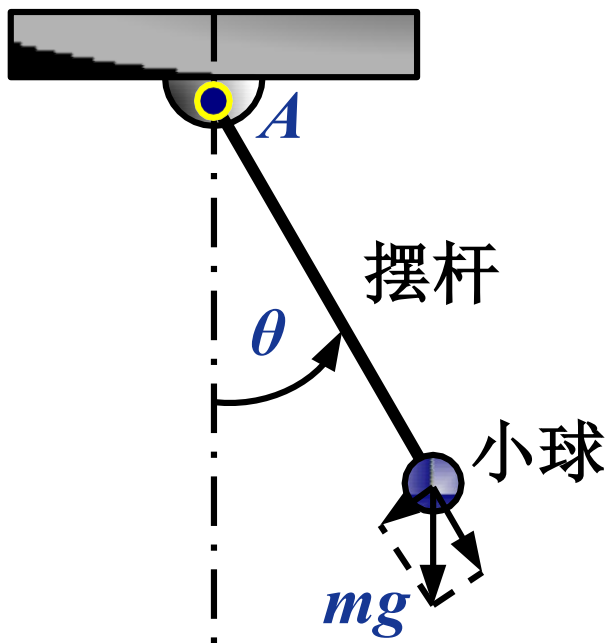


图2.9 单摆系统

非线性方程：

$$\ddot{\theta} + \frac{g}{L} \sin \theta = 0$$

线性近似方程：

$$\ddot{\theta} + \frac{g}{L} \theta = 0$$

$\pm 30^\circ$  以内时，偏差在5%以内

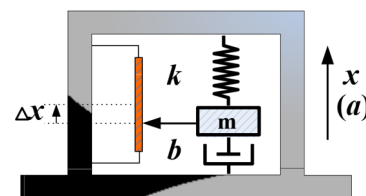
$$\sin \theta = \theta - \frac{\theta^3}{3!} + \frac{\theta^5}{5!} \cdots \Rightarrow \sin \theta \approx \theta$$

# 小结

一、根据物理机理建立线性常微分方程模型，可以描述大量受控变量（简单对象）的动态行为

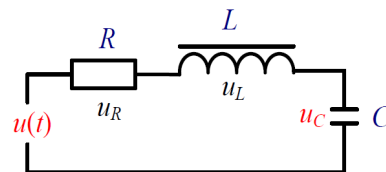
## 质量-弹簧-阻尼系统

$$m \frac{d^2 \Delta x(t)}{dt^2} + b \frac{d \Delta x(t)}{dt} + k \Delta x(t) = u(t)$$



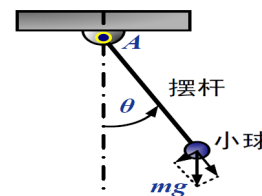
## RLC电路

$$LC \frac{d^2 u_C(t)}{dt^2} + RC \frac{du_C(t)}{dt} + u_C(t) = u(t)$$



## 单摆系统

$$\ddot{\theta} + \frac{g}{L} \theta = 0$$





---

二、**非本质**非线性可以用**近似**线性常微分方程模型来描述其动态行为

三、数据建模（**系统辨识**）是建立线性常微分方程模型的重要途径

---

# 内容安排

2.1

物理系统的微分方程模型

2.2

非线性系统数学模型的线性化

2.3

线性常微分方程的求解

2.4

传递函数模型

2.5

框图模型

2.6

信号流图模型

2.7

系统数学模型的MATLAB实现

# 线性常微分方程的求解

- 引言
- 拉普拉斯变换的定义
- 几种典型函数的拉普拉斯变换
- 拉普拉斯变换的主要性质
- 拉普拉斯反变换
- 应用拉普拉斯变换解线性常微分方程

# 线性常微分方程的求解：受控对象动态行为的 数学解析

## 例2.7：匀速直线运动

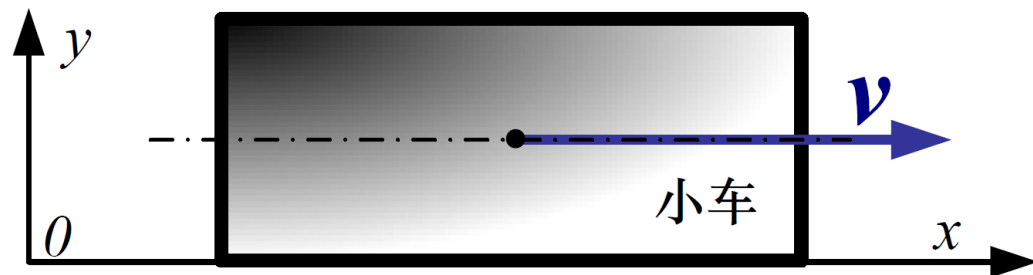


图2.10 小车系统

模型：匀速直线运动  $\dot{x}(t) = v$

数学解： 位移方程  $x(t) = x(0) + v \cdot t$

## 例2.8：匀加速直线运动

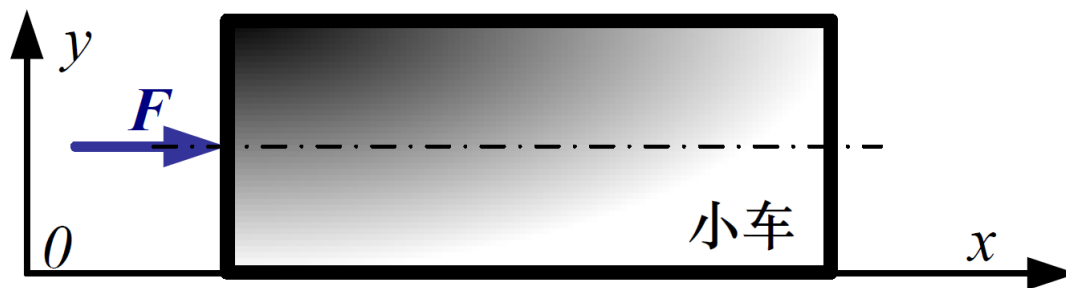


图2.11 小车系统

运动模型：  $\ddot{x}(t) = a$

位移方程：  $x(t) = x(0) + \dot{x}(0)t + \frac{1}{2}at^2$

## 例2.9：微分方程

$$\dot{x}(t) + x(t) = 0$$

积分

$$\int_0^t \dot{x}(\tau) d\tau + \int_0^t x(\tau) d\tau = \int_0^t 0 d\tau$$

技巧，  
技巧！

$t \rightarrow \infty$

$$\int_0^\infty \dot{x}(\tau) d\tau + \int_0^\infty x(\tau) d\tau = \int_0^\infty 0 d\tau$$

有无程式？

有！基于拉普拉斯（Laplace）变换

变换是常用数学技巧

$f(t)$ 的傅立叶（Fourier）变换：

$$F(\omega) = \int_{-\infty}^{+\infty} e^{-j\omega t} f(t) dt$$

利用傅立叶变换，可以从谐波信号组合的角度，来分析时间信号

$F(\omega)$ 的傅立叶反变换：

$$f(t) = \frac{1}{2\pi} \int_{-\infty}^{+\infty} F(\omega) e^{j\omega t} d\omega$$

对于周期函数 $f(t)$ ，它的傅立叶级数表示被定义为

$$f(t) = \sum_{n=-\infty}^{+\infty} a_n e^{j\frac{2\pi nt}{T}}$$

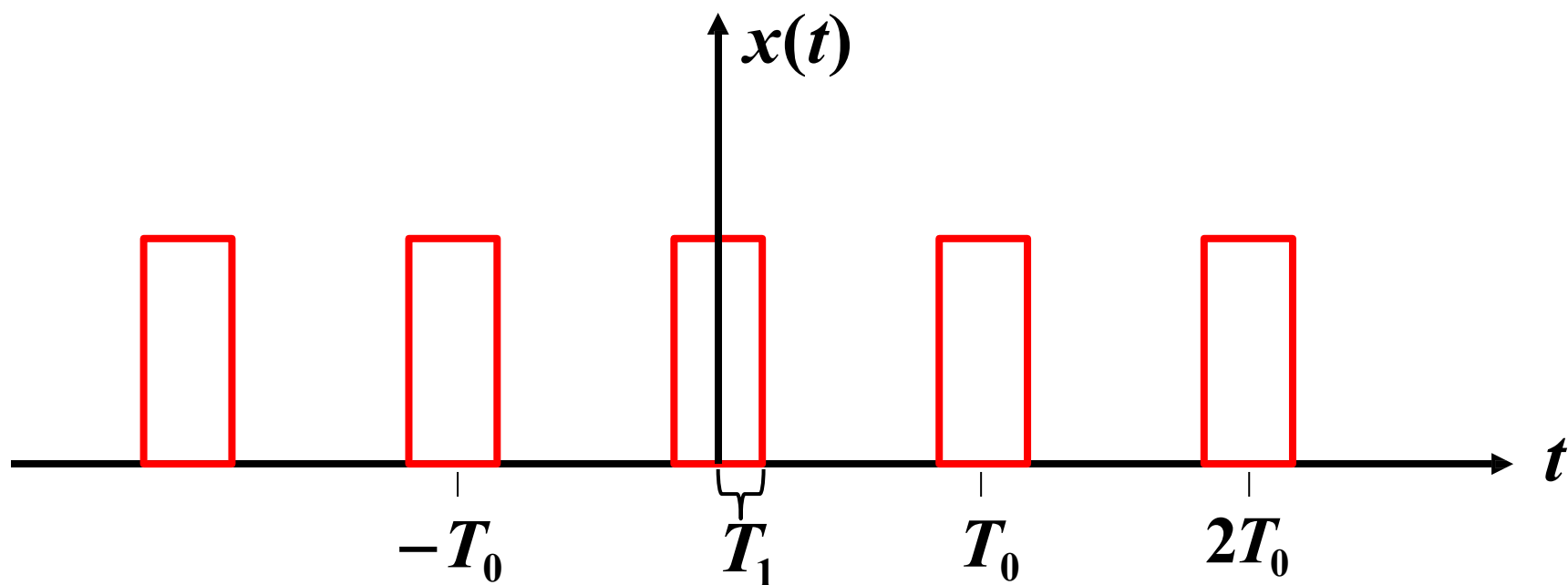
其中， $T$ 为函数的周期， $a_n$ 为傅立叶展开系数：

$$a_n = \frac{1}{T} \int_{-\frac{T}{2}}^{\frac{T}{2}} f(t) e^{-j\frac{2\pi nt}{T}} dt$$

傅立叶变换：傅立叶级数的极限形式（ $T \rightarrow +\infty$ ），  
可以处理非周期函数



例2.10：将周期时间方波信号展开成傅立叶级数



解:

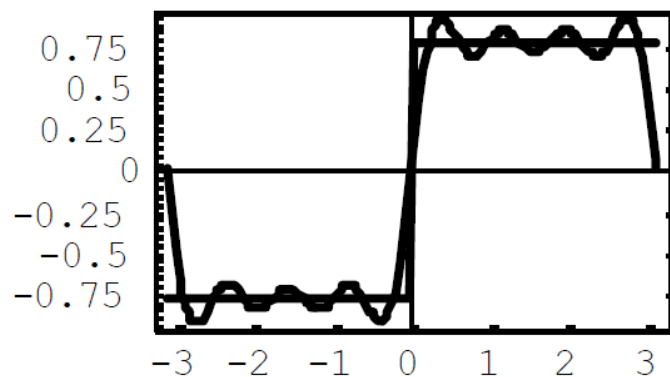
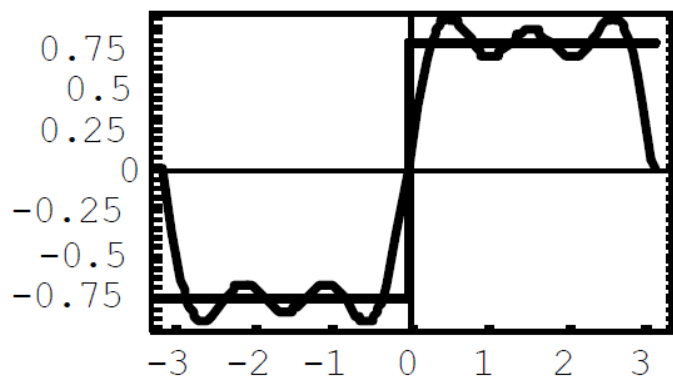
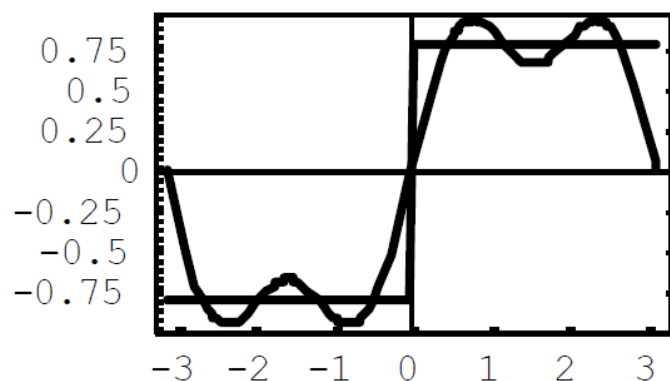
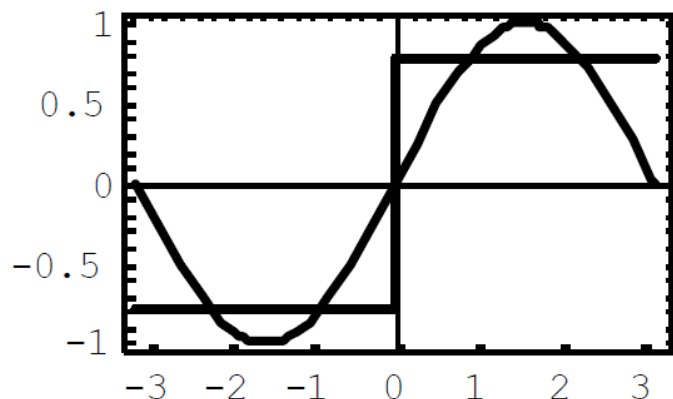
$$a_k = \frac{1}{T_0} \int_{-T_1}^{T_1} e^{-jk\omega_0 t} dt$$

$$\omega_0 = \frac{2\pi}{T}$$

$$\begin{aligned} k \neq 0 \quad a_k &= \frac{e^{-jk\omega_0 t}}{-jk\omega_0 T_0} \Big|_{-T_1}^{T_1} = \frac{1}{jk2\pi} (e^{jk\omega_0 T_1} - e^{-jk\omega_0 T_1}) \\ &= \frac{\sin(k\omega_0 T_1)}{k\pi} \end{aligned}$$

$$k = 0 \quad a_0 = \frac{1}{T_0} \int_{T_0} x(t) dt = \frac{1}{T_0} \int_{-T_1}^{T_1} dt = \frac{2T_1}{T_0}$$

# 有限项谐波的合成



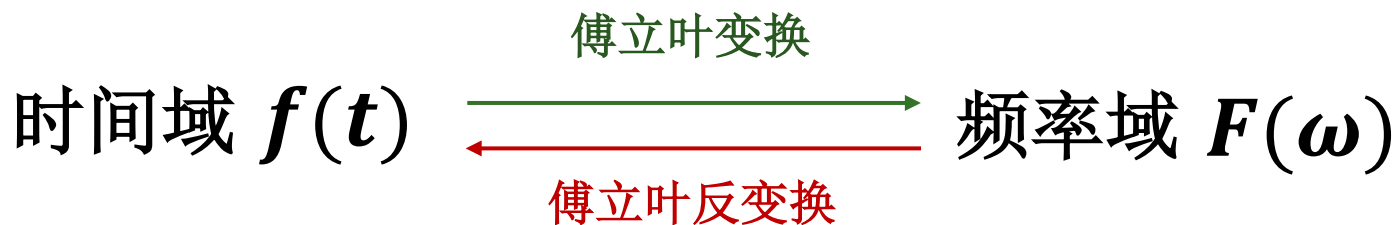
$$\sin x, \sin x + \frac{\sin 3x}{3}, \sin x + \frac{\sin 3x}{3} + \frac{\sin 5x}{5}, \sin x + \frac{\sin 3x}{3} + \frac{\sin 5x}{5} + \frac{\sin 7x}{7}$$

不同频率谐波信号的组合强度系数

$$a_k = a(k\omega_0)$$

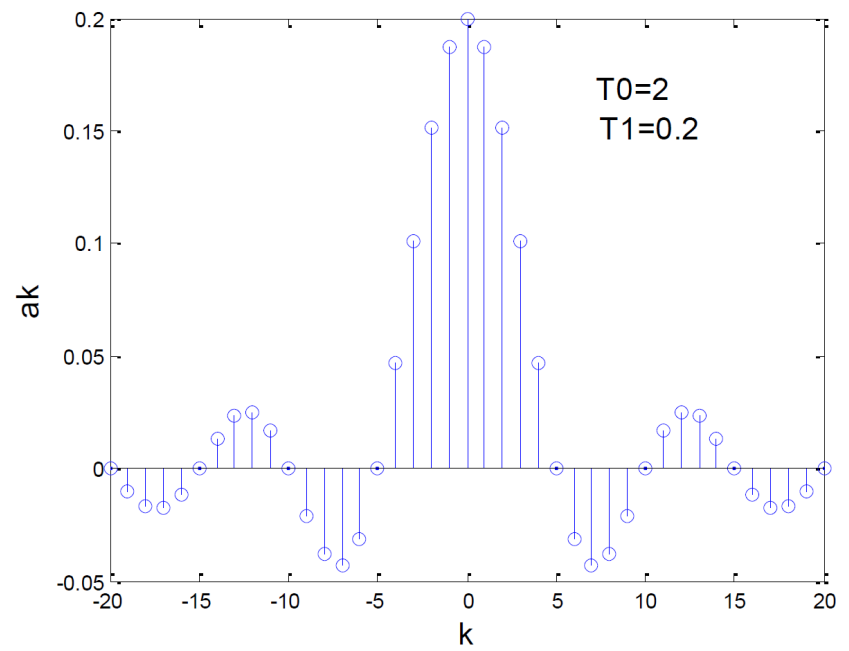
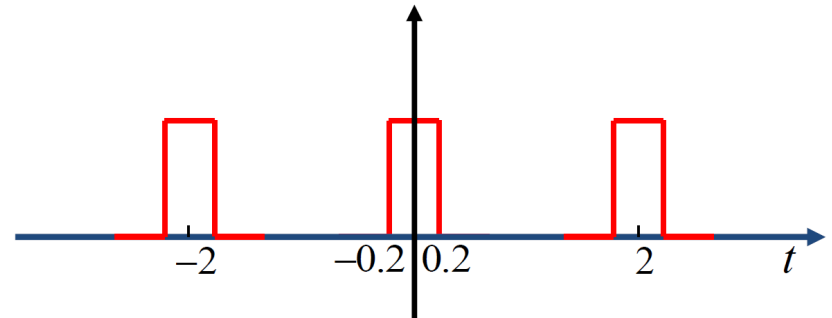
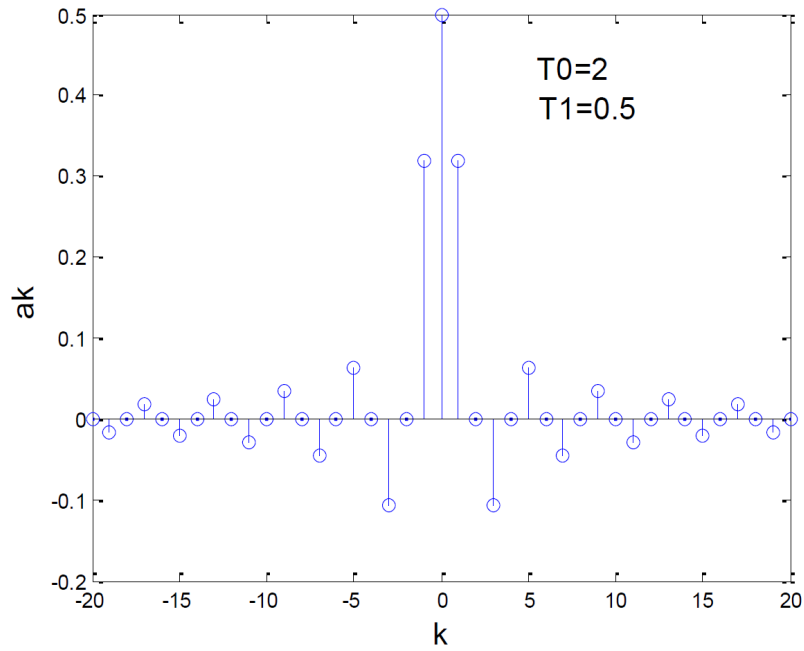
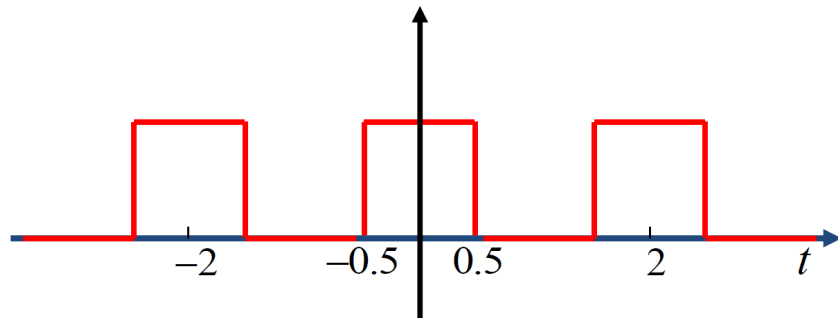
在频率域决定了时间域信号，称为离散谱函数

当基频趋近于0时，就在频率域定义了傅立叶连续谱函数



$$k \neq 0 \quad a_k = \frac{\sin(k\omega_0 T_1)}{k\pi} \quad a_0 = \frac{2T_1}{T_0}$$

$$\omega_0 = \frac{2\pi}{T_0} = \pi$$



# 线性常微分方程的求解

- 引言
- 拉普拉斯变换的定义
- 几种典型函数的拉普拉斯变换
- 拉普拉斯变换的主要性质
- 拉普拉斯反变换
- 应用拉普拉斯变换解线性常微分方程



➤ Laplace（拉普拉斯）

➤ 1749-1827年

➤ 拉普拉斯变换：**线性微分方程的求解利器**

$f(t)$ 的傅立叶变换 $F(\omega) = \int_{-\infty}^{+\infty} e^{-j\omega t} f(t) dt$ 可能发散！



1.  $f(t)$ 变为 $e^{-\sigma t} f(t)$
2.  $-\infty$ 变为0

$f(t)$ 的拉普拉斯变换  $L(s) = \int_0^{+\infty} e^{-(\sigma+j\omega)t} f(t) dt$

自变量变成了复数 $s = \sigma + j\omega$

函数 $f(t)$ 的拉氏变换

拉氏积分运算符

$$F(s) = L(f(t)) = \int_0^{\infty} f(t)e^{-st} dt$$

$s = \sigma + j\omega$

当 $t < 0$ 时,  $f(t) = 0$

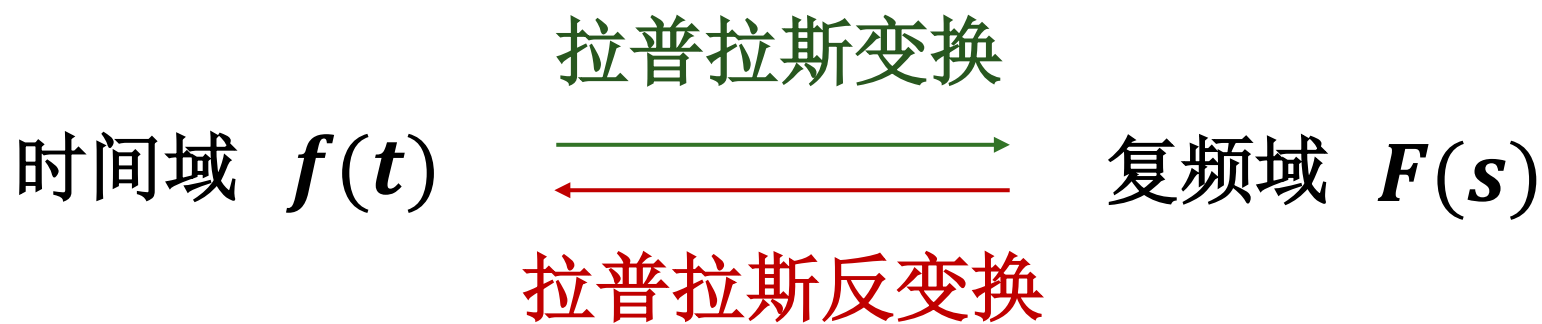
$F(s) = F_r(s) + jF_i(s)$

拉氏变换可理解为广义单边傅立叶变换

- $F(s)$ 称为函数 $f(t)$ 的拉普拉斯变换（拉氏变换）或象函数
- $f(t)$ 称为 $F(s)$ 的原函数



拉普拉斯变换是线性变换，连续时间函数与它的变换函数一一对应



# 线性常微分方程的求解

- 引言
- 拉普拉斯变换的定义
- 几种典型函数的拉普拉斯变换
- 拉普拉斯变换的主要性质
- 拉普拉斯反变换
- 应用拉普拉斯变换解线性常微分方程

# (1) 指数函数

$$f(t) = \begin{cases} 0, & t < 0 \\ Ae^{-at}, & t \geq 0 \end{cases}$$

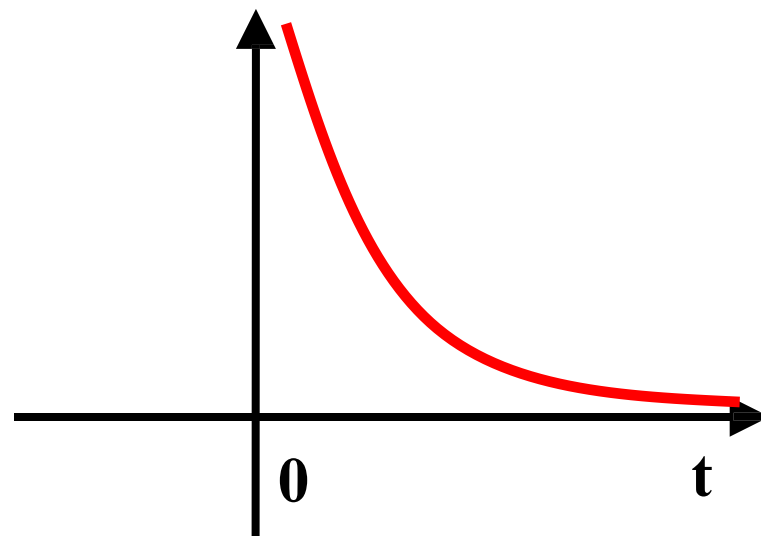


图2.13 指数衰减函数

$$L[f(t)] = \int_0^{\infty} Ae^{-at} e^{-st} dt = \int_0^{\infty} Ae^{-(s+a)t} dt$$

$$= -\frac{A}{s+a} e^{-(s+a)t} \Big|_0^{\infty} = \frac{A}{s+a}$$

极点  $s = -a$

## 2) 单位阶跃函数

$$1(t) = \begin{cases} 0 & t < 0 \\ 1, & t \geq 0 \end{cases}$$

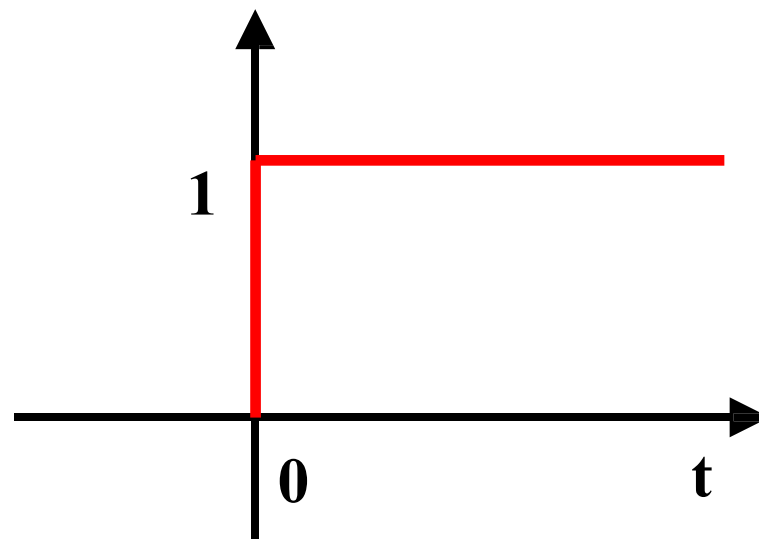


图2.14 阶跃函数

$$L[1(t)] = \int_0^{\infty} 1(t) e^{-st} dt = -\frac{1}{s} e^{-st} \bigg|_0^{\infty} = \frac{1}{s}$$

极点  $s = 0$

### 3) 斜坡函数

$$f(t) = \begin{cases} 0, & t < 0 \\ At, & t \geq 0 \end{cases}$$

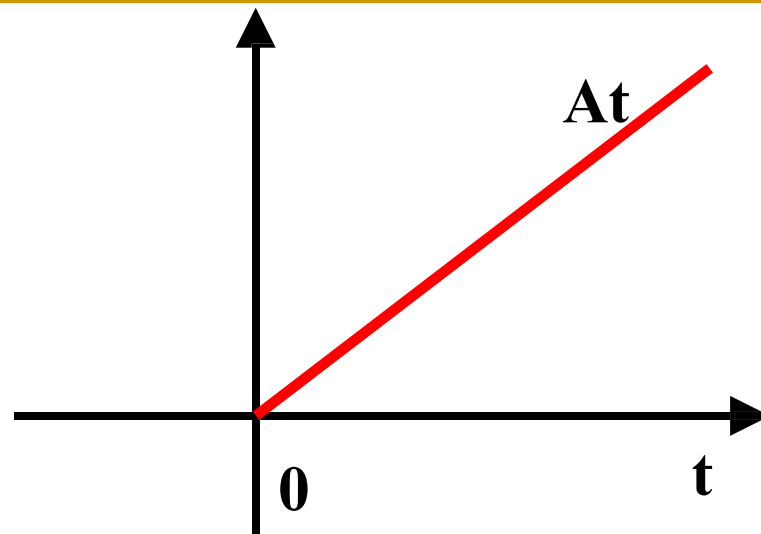


图2.15 斜坡函数

$$L[f(t)] = \int_0^{\infty} Ate^{-st} dt = \left( -\frac{A}{s} te^{-st} - \frac{A}{s^2} e^{-st} \right) \Big|_0^{\infty} = \frac{A}{s^2}$$

极点  
 $s_{1,2} = 0$

### 4) 幂函数

$$L[t^n \cdot \mathbf{1}(t)] = \frac{n!}{s^{n+1}}$$

## 5) 正弦函数与余弦函数

由欧拉公式：

$$e^{j\omega t} = \cos \omega t + j \sin \omega t$$

有：

$$\sin \omega t = \frac{1}{2j} (e^{j\omega t} - e^{-j\omega t}) \quad \cos \omega t = \frac{1}{2} (e^{j\omega t} + e^{-j\omega t})$$

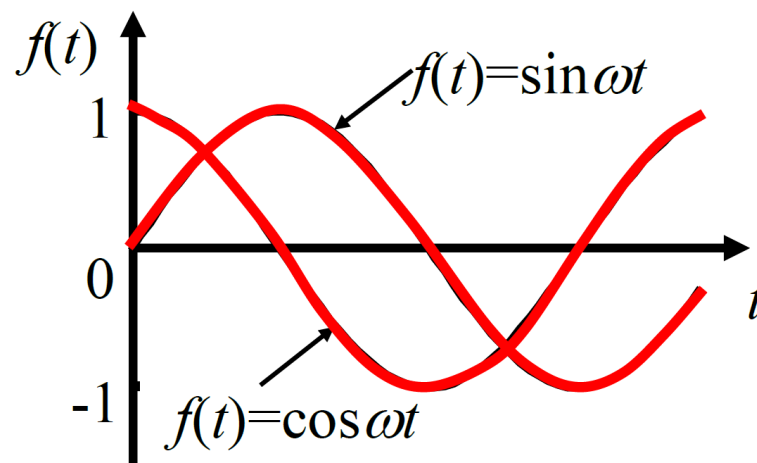


图2.16 正弦及余弦函数

$$\begin{aligned}
 L[\sin \omega t] &= \int_0^{\infty} \sin \omega t e^{-st} dt \\
 &= \frac{1}{2j} \left( \int_0^{\infty} e^{j\omega t} e^{-st} dt - \int_0^{\infty} e^{-j\omega t} e^{-st} dt \right) \\
 &= \frac{1}{2j} \left( \frac{1}{s - j\omega} - \frac{1}{s + j\omega} \right) = \frac{\omega}{\underline{s^2 + \omega^2}}
 \end{aligned}$$

极点  $s_{1,2} = \pm j\omega$

同理：

$$L[\cos \omega t] = \frac{1}{2} \left[ \frac{1}{s - j\omega} + \frac{1}{s + j\omega} \right] = \frac{1}{2} \frac{(s + j\omega) + (s - j\omega)}{(s - j\omega)(s + j\omega)} = \frac{s}{\underline{s^2 + \omega^2}}$$

## 6) 单位脉冲函数

$$\delta(t) = \begin{cases} 0 & (t < 0 \text{ 或 } t > \varepsilon) \\ \lim_{\varepsilon \rightarrow 0} \frac{1}{\varepsilon} & (0 \leq t \leq \varepsilon) \end{cases}$$

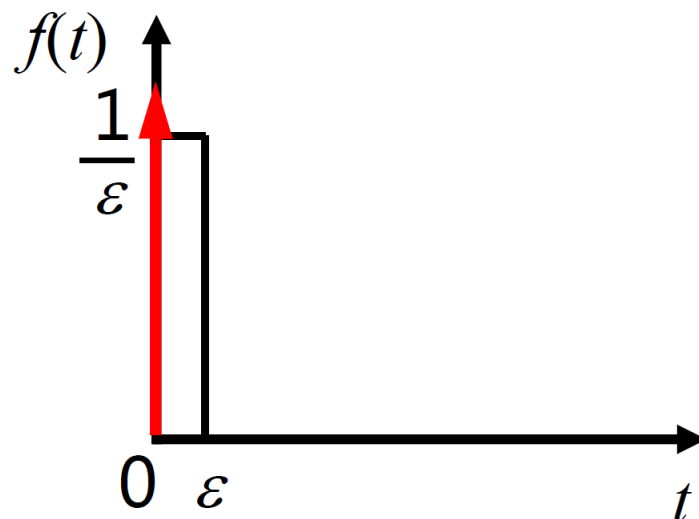


图2.17 单位脉冲函数

$$L[\delta(t)] = \int_0^{\varepsilon} \lim_{\varepsilon \rightarrow 0} \frac{1}{\varepsilon} \cdot e^{-st} dt = \lim_{\varepsilon \rightarrow 0} \frac{1}{\varepsilon s} (1 - e^{-\varepsilon s})$$

由洛必达法则：

$$= \lim_{\varepsilon \rightarrow 0} \frac{(1 - e^{-\varepsilon s})'}{(\varepsilon s)'} = \lim_{\varepsilon \rightarrow 0} \frac{s e^{-\varepsilon s}}{s} = 1$$

**$\delta(t)$ 函数是物理不可实现的**



## 典型函数

## 拉普拉斯变换

1) 指数函数  $e^{-at}$

$$\frac{1}{s+a}$$

2) 阶跃函数  $A$

$$\frac{A}{s}$$

3) 斜坡函数  $At$

$$\frac{A}{s^2}$$

4) 幂函数  $t^n$

$$\frac{n!}{s^{n+1}}$$

5) 正弦函数  $\sin \omega t$

$$\frac{\omega}{s^2 + \omega^2}$$

6) 余弦函数  $\cos \omega t$

$$\frac{s}{s^2 + \omega^2}$$

7) 单位脉冲函数  $\delta(t)$

$$1$$

# 线性常微分方程的求解

- 引言
- 拉普拉斯变换的定义
- 几种典型函数的拉普拉斯变换
- 拉普拉斯变换的主要性质
- 拉普拉斯反变换
- 应用拉普拉斯变换解线性常微分方程

# 主要性质

$$F(s) = L[f(t)] = \int_0^{\infty} f(t)e^{-st} dt$$

---

## 位移定理

$$L[e^{-at} f(t)] = F(s + a)$$

---

## 微分定理

$$L\left[\frac{d^n}{dt^n} f(t)\right] = s^n F(s) \quad (\text{零初始条件})$$

---

## 积分定理

$$L[\int \cdots \int f(t) dt^n] = \frac{1}{s^n} F(s) \quad (\text{零初始条件})$$

---

## 终值定理

$$\lim_{t \rightarrow \infty} f(t) = \lim_{s \rightarrow 0} sF(s)$$

---

## 初值定理

$$f(0) = \lim_{s \rightarrow \infty} sF(s)$$

---

## 性质0 线性

□ 齐次性:  $L(af(t)) = aL(f(t))$ ,  $a$ 为常数

□ 叠加性:

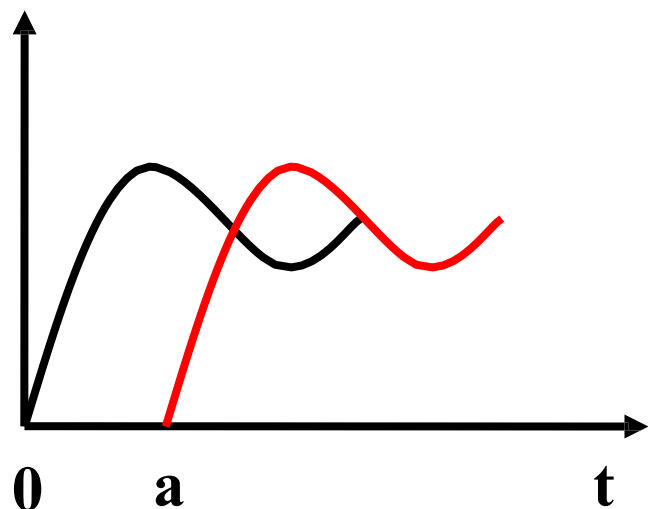
$$L(af_1(t) + bf_2(t)) = aL(f_1(t)) + bL(f_2(t))$$

$a, b$ 为常数

显然，拉普拉斯变换为线性变换

# 性质1 时间平移

$$f(t)1(t) \longrightarrow f(t-a)1(t-a) \quad \text{时间位移}$$



$$L[f(t-a)1(t-a)] = e^{-as}F(s)$$

$f(t)$  的变换

新变换 = 原变换与指数函数之积

## 性质2 频率域平移

$$L\left[f(t)e^{-at}\right] = F(s+a)$$

源自时间域内的函数 $f(t)$ 与指数函数之积

例  $L[\sin \omega t] = \frac{\omega}{s^2 + \omega^2} \quad L[\cos \omega t] = \frac{s}{s^2 + \omega^2}$

$$L[e^{-at} \sin \omega t] = \frac{\omega}{(s+a)^2 + \omega^2}$$

$$L[e^{-at} \cos \omega t] = \frac{(s+a)}{(s+a)^2 + \omega^2}$$

### 性质3 尺度变换

$$L\left[f\left(\frac{t}{a}\right)\right] = aF(as)$$

证明:

$$L\left[f\left(\frac{t}{a}\right)\right] = \int_0^{\infty} f\left(\frac{t}{a}\right)e^{-st} dt$$

记  $\tau = \frac{t}{a}$

则 
$$L\left[f\left(\frac{t}{a}\right)\right] = \int_0^{\infty} f(\tau)e^{-sa\tau} d(a\tau) = aF(as)$$

例：已知

$$L(e^{-t}) = \frac{1}{s+1}$$

则有：

$$L(e^{-0.2t}) = \frac{5}{5s+1}$$



## 性质4 微分性质

重要!

$$L\left[\frac{d}{dt}f(t)\right] = sF(s) - f(0)$$

其中,  $f(0)$  为  $t = 0$  时的初始值。

类似地,  $f(t)$  的  $n$  阶导函数的拉普拉斯变换为

$$L\left[\frac{d^n}{dt^n}f(t)\right] = s^n F(s) - s^{n-1}f(0) - \cdots - sf^{(n-2)}(0) - f^{(n-1)}(0)$$

零初始条件下, 时间域求导运算变成了频率域代数运算!

$$s \equiv \frac{d}{dt}$$

证明：由定义有：

$$\begin{aligned} L[f'(t)] &= \int_0^{+\infty} f'(t)e^{-st} dt = s \int_0^{+\infty} f(t)e^{-st} dt + f(t)e^{-st} \Big|_0^{+\infty} \\ &= sF(s) - f(0) \end{aligned}$$

$f(t)$ 的二阶导函数的拉普拉斯变换满足：

$$\begin{aligned} L[f''(t)] &= sL[f'(t)] - f'(0) = s[sF(s) - f(0)] - f'(0) \\ &= s^2 F(s) - sf(0) - f'(0) \end{aligned}$$

类似地， $n$ 阶导函数满足：

$$L[f^n(t)] = s^n F(s) - s^{n-1} f(0) - s^{n-2} f'(0) - \cdots - f^{n-1}(0)$$

## 性质5 终值定理

如果 $f(t)$ 和 $df(t)/dt$ 存在拉普拉斯变换,  $F(s)$ 在虚轴上无极点, 在原点处无多重极点, 且 $\lim_{t \rightarrow \infty} f(t)$ 存在, 则

$$\lim_{t \rightarrow \infty} f(t) = \lim_{s \rightarrow 0} sF(s)$$

**注:** 如果 $t \rightarrow \infty$ 时,  $\lim_{t \rightarrow \infty} f(t)$ 不存在, 则终值定理失效

例, 正弦函数就不适用

证明：由微分定理有

$$L[f'(t)] = \int_0^{\infty} f'(t)e^{-st} dt = sF(s) - f(0)$$

令  $s$  趋近于 0

$$\begin{aligned} \Rightarrow \lim_{s \rightarrow 0} \int_0^{\infty} f'(t)e^{-st} dt &= \int_0^{\infty} \lim_{s \rightarrow 0} f'(t)e^{-st} dt \\ &= \int_0^{\infty} f'(t) dt = f(t) \Big|_0^{\infty} = \lim_{t \rightarrow \infty} f(t) - f(0) \end{aligned}$$

$$\Rightarrow \lim_{s \rightarrow 0} [sF(s) - f(0)] = \lim_{s \rightarrow 0} sF(s) - f(0)$$

$$\therefore \lim_{t \rightarrow \infty} f(t) = \lim_{s \rightarrow 0} sF(s)$$

## 性质6 初值定理

如果 $f(t)$ 和 $df(t)/dt$ 的拉普拉斯变换和 $\lim_{s \rightarrow \infty} sF(s)$

都存在, 则

$$\lim_{t \rightarrow 0} f(t) = \lim_{s \rightarrow \infty} sF(s)$$

## 性质7 积分定理

$$L\left(\int f(t)dt\right) = \frac{F(s)}{s} + \frac{f^{-1}(0)}{s}$$

其中,  $f^{-1}(0) = \int_{-\infty}^0 f(t)dt$ 是积分函数初始值。以及

$$L[\iint f(t)dt^2] = \frac{1}{s^2} F(s) + \frac{1}{s^2} f^{(-1)}(0) + \frac{1}{s} f^{(-2)}(0)$$

初值为零时,  $L[\iiint \cdots \int f(t)dt^n] = \frac{1}{s^n} F(s)$

# 基本函数的拉普拉斯变换

$x(t)$	$X(s) = \int_0^{\infty} x(t) e^{-st} dt$	$x(t)$	$X(s) = \int_0^{\infty} x(t) e^{-st} dt$
$e^{-at}$	$\frac{1}{s+a}$	$x(t)e^{-at}$	$X(s+a)$
1	$\frac{1}{s}$	$tx(t)$	$-\frac{dX(s)}{ds}$
$\delta(t)$	1	$\frac{dx(t)}{dt}$	$sX(s) - x(0)$
$\sin \omega t$	$\frac{\omega}{s^2 + \omega^2}$	$\frac{d^2 x(t)}{d^2 t}$	$s^2 X(s) - sx(0) - \dot{x}(0)$
$\cos \omega t$	$\frac{s}{s^2 + \omega^2}$	$t^n$	$\frac{n!}{s^{n+1}}$
$e^{-at} \sin \omega t$	$\frac{\omega}{(s+a)^2 + \omega^2}$	$\int_{-\infty}^t x(t) dt$	$\frac{X(s)}{s} + \frac{1}{s} \int_{-\infty}^0 x(t) dt$
$e^{-at} \cos \omega t$	$\frac{s+a}{(s+a)^2 + \omega^2}$	$s \equiv \frac{d}{dt}$	$\frac{1}{s} \equiv \int_{-\infty}^t dt$

## 作业2-1

P2.1 某电子电路如图 P2.1 所示，试用微积分方程组描述该电路。

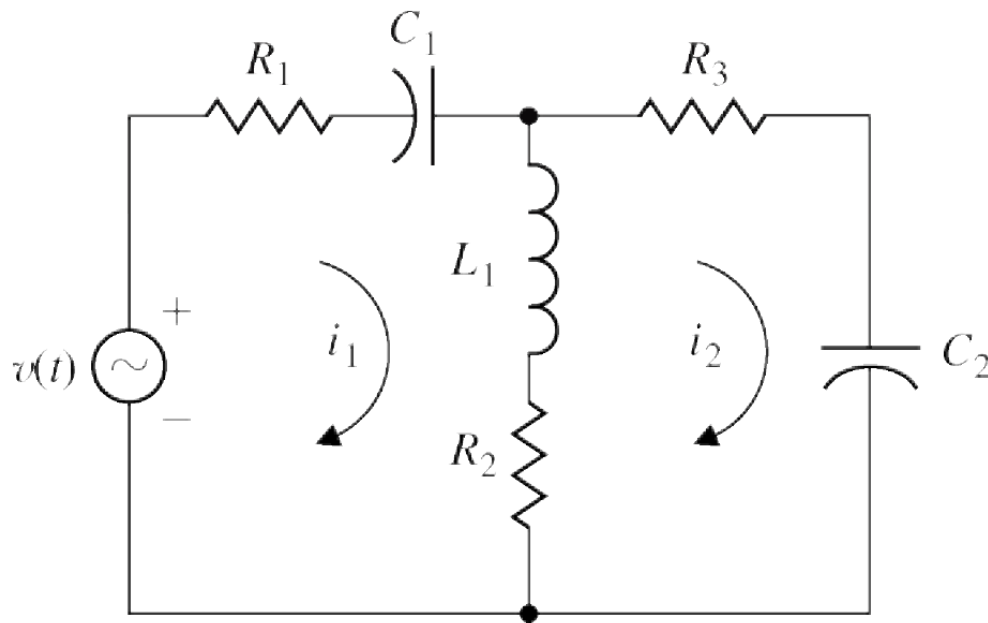


图 P2.1 电子电路

## 作业2-2

P2.2 某动态减震器如图 P2.2 所示。该系统是许多实际情况的代表性描述，包括含有非平衡元件的机械震动吸收器。当  $F(t) = a\sin(\omega_0 t)$  时，我们可以选择参数  $M_2$  和  $k_{12}$  的合适取值，使主要的质量块  $M_1$  达到稳态之后不再振荡。试求该系统的微分方程组模型。

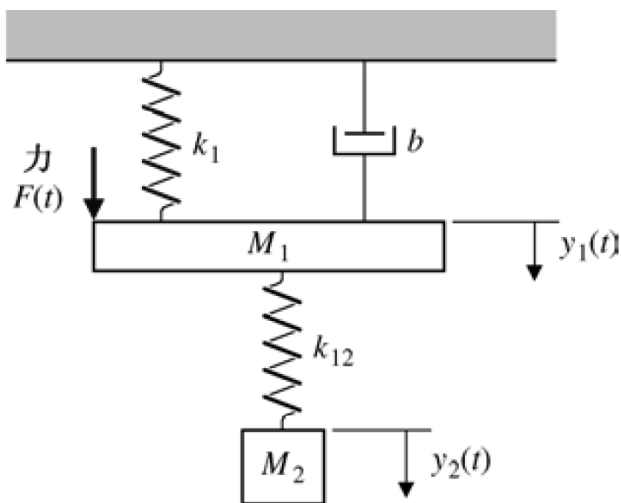


图 P2.2 减震器



## 作业2-3

P2.3 相互耦合的质量块-弹簧系统如图 P2.3 所示。假定两个质量块的质量均为  $M$ ，两个弹簧的弹性系数均为  $k$ ，试求该系统的微分方程组模型。

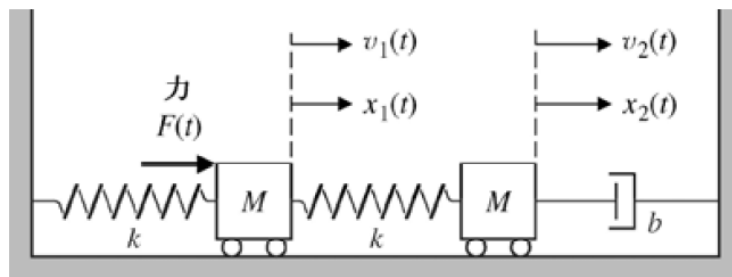


图 P2.3 双质量块系统

## 作业2-4

E2.1 如图 E2.1 所示，单位负反馈系统有一个非线性环节，其输入-输出特性为  $y = f(e) = e^2$ ，输入  $r$  的变化范围为 0 到 4，试计算并绘图显示开环、闭环系统的输入与输出曲线，并说明反馈系统有更好的近似线性特性。

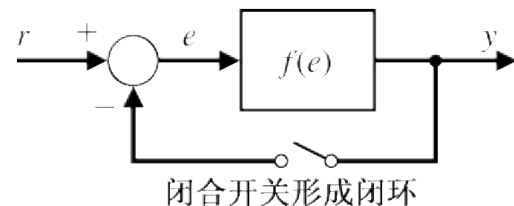


图 E2.1 开环与闭环系统

## 作业2-5

E2.2 热敏电阻的温度响应特性为  $R = R_0 e^{-0.1T}$ ，其中  $R_0 = 10\,000\ \Omega$ ， $R$  表示电阻， $T$  为温度(单位为 $^{\circ}\text{C}$ )，在温度扰动很小的情况下，试给出该热敏电阻在工作点  $T = 20^{\circ}\text{C}$  附近的小信号线性近似模型。